

Вычислительный алгоритм оптимального управления объектом с распределенными параметрами в негладкой области конечных состояний

М. Ю. Лившиц, А. В. Ненашев, Ю. Э. Плешивцева
ФБОУ ВО Самарский государственный технический университет
usat@samgtu.ru

Аннотация. Предложен эффективный вычислительный алгоритм для решения краевых задач оптимального быстрогодействия и оптимальной точности при минимаксной оценке отклонения результирующей траектории от заданного состояния. Задача сводится к невыпуклой задаче нелинейного программирования. Приведен пример решения тестовой задачи оптимального управления индукционным нагревом цилиндра.

Ключевые слова: *распределенные параметры; краевая задача; критерий оптимальности; поисковая процедура; локальный минимум; глобальный минимум*

I. ВВЕДЕНИЕ

Практическая результативность методов и алгоритмов решения задач оптимального управления технологическими и производственными процессами определяется эффективностью вычислительных методов и соответствующего программного обеспечения.

Определяющим фактором при выборе вычислительного метода, является его адекватность поставленной оптимальной задаче. Поэтому требуют дополнительного и математически корректного обоснования широко распространенные, основанные на ограничении бесконечного числа соотношений, например, в распределенном методе моментов и (или) аппроксимации негладкого и невыпуклого критерия качества выпуклой областью [1, 10], численные методы приближенного решения оптимальных задач, в особенности применительно к бесконечномерным объектам с распределенными параметрами (ОРП). Строгий анализ показывает, что при этом зачастую происходит подмена постановки оптимальной задачи и вместо изначально поставленной краевой задачи с фиксированными концами оптимальной траектории фактически решается задача с подвижным или свободным правым концом оптимальной траектории в соответствующей области конечномерного или бесконечномерного пространства состояний, если речь идет об ОРП.

Основные затруднения при реализации вычислительных методов для ОРП связаны не только с необходимостью их конечномерной аппроксимации в большинстве известных методов, но и с проблемой адекватности удобных в вычислительной практике метрик, определяющих начальные и конечные области соответствующих оптимальных краевых задач, технологически обоснованным оценкам этих областей. Погрешности достижения заданной области, от некорректного выбора вычислительного метода решения, для некоторых оптимальных задач достигают 200% [1, 2, 8, 9].

II. ПОСТАНОВКА ЗАДАЧИ

Ограничимся здесь, для упрощения изложения предлагаемого численного метода, одномерной краевой задачей оптимального управления ОРП, что не ведет к потере общности алгоритма вычислительной процедуры. Существенно, что даже при теоретической фиксации правого конца оптимальной траектории ОРП, погрешности измерения, усечение бесконечномерных моделей, погрешность при численной реализации и т.п., не позволяют практически решить эту задачу точно. Поэтому фактически решается задача с подвижным правым концом траектории. Однако, при этом из-за некорректной подмены постановки задач происходит существенная потеря по критерию оптимальности. Эффективность решения определяется на этапе формулировки краевых оптимальных задач и во многом зависит от формулировки метрики оценки области конечных состояний [1, 9].

Пусть ОРП описывается линейным одномерным дифференциальным уравнением параболического типа

$$\frac{\partial \Theta(l, \varphi)}{\partial \varphi} - \frac{\partial^2 \Theta(l, \varphi)}{\partial l^2} - \Gamma l^{-1} \frac{\partial \Theta(l, \varphi)}{\partial l} = F(l, \varphi), \quad (1)$$
$$l \in (0, 1), \quad \varphi \in (0, \infty)$$

с краевыми условиями:

$$\Theta(l, 0) = \Theta_0; \quad \frac{\partial \Theta(0, \varphi)}{\partial l} = 0; \quad \frac{\partial \Theta(1, \varphi)}{\partial l} = q(\varphi) \quad (2)$$

Работа выполнена при поддержке Российского фонда фундаментальных исследований проекты № 17-08-00593 и № 16-08-00945

Здесь l, φ относительные пространственный и временной (число Фурье) аргументы, Γ – параметр формы ($\Gamma=1$ для цилиндрической системы координат, $\Gamma=0$ для декартовой системы координат), $F(l, \varphi)$ и $q(\varphi)$ заданные функции своих аргументов.

Рассмотрим две краевые задачи оптимального управления объектом (1)-(2) с подвижным правым концом траектории в бесконечномерной негладкой области $\bar{\Omega}_\Theta = \left\{ \Theta(l, \varphi) : \max_{l \in [0,1]} |\Theta(l, \varphi_0) - \Theta^*(l)| \leq \varepsilon \right\}$ допустимых результирующих состояний для заданной $\varepsilon = \varepsilon_s$ или предельно достижимой в i -ом классе управлений $\varepsilon = \varepsilon_{\min}^{(i)}$ погрешности в области

$$\bar{\Omega}_u = \{u(\varphi) : U_{\min} \leq u(\varphi) \leq U_{\max}\} \quad (3)$$

допустимых управлений $u(\varphi)$:

задача быстрогодействия

$$j_\varphi^{om} = \min_{u(\varphi) \in \bar{\Omega}_u} \varphi_0 \Big|_{\Theta \in \bar{\Omega}_\Theta, \varepsilon = \varepsilon_s} \quad (4)$$

задача максимальной точности

$$j_\varepsilon^{om} = \min_{u(\varphi) \in \bar{\Omega}_u} \max_{l \in [0,1]} |\Theta(l, \varphi_0) - \Theta^*(l)| \quad (5)$$

Здесь $\Theta^*(l)$ заданное результирующее распределение $\Theta(l, \varphi) = \Theta^*(l)$ в момент $\varphi = \varphi_0$ окончания процесса $0 < \varphi_0 < \infty$.

В качестве подлежащего определению управления $u(\varphi)$ можно рассматривать временную компоненту $v(\varphi)$ правой части уравнения (1) в мультипликативной форме [3]: $F(l, \varphi) = w(l)v(\varphi)$ имеющую смысл интенсивности теплоисточников, если интерпретировать объект (1)-(2) как краевую задачу теплопроводности.

Возможны и другие варианты назначения управляющего воздействия в задаче управления при анализе соответствующей технологической или производственной ситуации.

Эффективным средством решения этих задач является альтернативный метод оптимизации (АМО) [1]. Этот метод получил широкое распространение для решения прикладных задач оптимального управления различными технологическими процессами, однако наиболее эффективным является его применение для ОРП, к которым относятся процессы тепло- и массопереноса технологической теплофизики (различные виды нагрева, химико-термическая обработка, фильтрация и т.п.). АМО адекватно учитывает неполную управляемость процесса и негладкость априори заданной области $\bar{\Omega}_\Theta$ конечных состояний $\Theta(l, \varphi_0)$ и позволяет определить оптимальную траекторию, приводящую внутрь этой области в классе

реализуемых управлений. Необходимым условием использования АМО является параметрический характер управления $u(\varphi)$. Параметризовать управление удастся либо из физических соображений, когда в качестве управляющих воздействий рассматривают конструктивные или режимные характеристики (толщина футеровки, длина печи и т.п.), естественным образом параметризуемые, либо с использованием принципа максимума Понтрягина в форме Ю.В. Егорова [11], либо решением бесконечномерной проблемы моментов [4]. Параметрический характер управления позволяет свести решение задач (4) и (5) к поиску количества i и численного значения $\Delta^{(i)} = (\Delta_1^{(i)}, \Delta_2^{(i)}, \dots, \Delta_i^{(i)})$ параметров управления и предельно достижимой в каждом i -ом подмножестве управлений погрешности $\varepsilon = \varepsilon_{\min}^{(i)} = \max_{l \in [0,1]} |\Theta(l, \varphi_0^{(i)}, \Delta^{(i)}) - \Theta^*(l)|$ равномерного приближения результирующего профиля $\Theta(l, \varphi_0^{(i)}, \Delta^{(i)})$ к заданному из условий удовлетворения производственно-технологическим требованиям профилю $\Theta^*(l)$. Причем достижимое в каждом параметрическом i -м классе управления время окончания процесса $\varphi_0 = \varphi_0^{(i)}$ является минимально возможным. Неизвестные параметры управления $\Delta^{(i)}$ и достижимая в i -ом классе управления погрешность $\varepsilon_{\min}^{(i)}$ в поставленных оптимальных задачах (4) и (5), согласно процедуре АМО, определяются решением системы трансцендентных уравнений:

$$\tilde{\Theta}(l, \Delta^{(i)}) \Big|_{l=l_{nj}} = (-1)^j \mathcal{G} \varepsilon; \quad \frac{\partial \tilde{\Theta}(l, \Delta^{(i)})}{\partial l} \Big|_{l=l_{jm}} = 0 \quad (6)$$

где $\tilde{\Theta}(l, \varphi_0^{(i)}) = \Theta(l, \varphi_0^{(i)}) - \Theta^*(l)$, $j = \overline{1, R}$ ($R=i$ if $\varepsilon_{\min}^{(i-1)} > \varepsilon = \varepsilon_s > \varepsilon_{\min}^{(i)}$; $R=i+1$ if $\varepsilon = \varepsilon_{\min}^{(i)}$), $m = \overline{1, r}$ $l_{nj} \in \{l_{nj} : [0, l_{n1}, \dots, l_{nr}, 1], r=R-1, r=R\}$, $0 \leq l_{n1} < l_{n2} < \dots < l_{nr}$, $\mathcal{G} = \pm 1$

Решение последовательности задач максимальной точности (5) позволяет сформировать ряд неравенств:

$$\varepsilon_{\min}^{(1)} > \varepsilon_{\min}^{(2)} > \dots > \varepsilon_{\min}^{(\alpha)} = \varepsilon_{\inf} \geq 0 \quad (7)$$

Ряд (7) служит основой для выбора количества i параметров управляющих воздействий т.к. выявляет минимальную достижимую абсолютную погрешность $\varepsilon_{\min}^{(i)}$, $i = 1, 2, \dots, \alpha$ при достижении результирующего профиля в каждом i -м классе оптимального управления.

III. ВЫЧИСЛИТЕЛЬНЫЙ АЛГОРИТМ АМО

Основой алгоритма служит последовательное решение системы трансцендентных алгебраических уравнений (6) для определения членов ряда (7). При этом каждый член $\varepsilon_{\min}^{(i)}$ ряда (7) определяется в ходе решения задачи (5) путем минимизации невязок $f_j(l_{nj}, \Delta^{(i)}, \varepsilon)$, $f_m(l_{jm}, \Delta^{(i)}, \varepsilon)$ решения

системы (6): $\tilde{\Theta}(l, \Delta^{(i)}) \Big|_{l=l_{nj}} - (-1)^j \partial \varepsilon = f_j(l_{nj}, \Delta^{(i)}, \varepsilon),$

$$\frac{\partial \Theta(l, \Delta^{(i)})}{\partial l} \Big|_{l=l_{sm}} = f_m(l_{sm}, \Delta^{(i)}, \varepsilon).$$

Для этого введем оценку невязок в форме штрафной функции:

$$J(l_{nj}, \Delta^{(i)}, \varepsilon) = J_{big}(l_{nj}, \Delta^{(i)}, \varepsilon) + J_{small}(l_{nj}, \Delta^{(i)}, \varepsilon) \quad (8)$$

где $J_{big}(l_{nj}, \Delta^{(i)}, \varepsilon) = K[f_{abs}]^2$; $J_{small}(l_{nj}, \Delta^{(i)}, \varepsilon) = K\sqrt{f_{abs}}$;

$$f_{abs} = \sum_{j=1}^R |f_j(l_{nj}, \Delta^{(i)}, \varepsilon)| + \sum_{m=1}^r |f_m(l_{sm}, \Delta^{(i)}, \varepsilon)|.$$

Вид оценки в форме (8) сформулирован с целью снижения вероятности возникновения «оврагов», так компонента $J_{big}(l_{nj}, \Delta^{(i)}, \varepsilon)$ существенно увеличивает значения $J(l_{nj}, \Delta^{(i)}, \varepsilon)$, если $f_{abs} > 1$ и уменьшает, если $f_{abs} < 1$. $J_{small}(l_{nj}, \Delta^{(i)}, \varepsilon)$ действует наоборот. Коэффициент масштабирования K обеспечивает увеличение приращения оценки на отрезке $f_{abs} \in (\gamma; \delta)$, где скорость изменения оценки (8) принимает минимальные значения, что может приводить к возникновению оврагов в указанном диапазоне.

Оценка (8) всегда положительна, в зависимости от оптимизируемого процесса может быть невыпуклой, однако, если система (6) имеет решение, абсолютный минимум $J_{inf} = J(l_{nj}, \Delta^{(i)}, \varepsilon) = 0$. Задача поиска параметров $\Delta^{(i)}$ в каждом i -ом классе управления сводится к поиску координаты абсолютного минимума $J_{inf} = 0$ оценки (8), определенной в многомерной области $R_1^c = (l_{nj} \in [0, 1], \Delta^{(i)} \in (0, \infty), \varepsilon), c_1 = \dim R_1^c = 2(i+1)$ в случае решения задачи (5) и $R_2^c = (l_{nj} \in [0, 1], \Delta^{(i)} \in (0, \infty)), c_2 = \dim R_2^c = 2i$ в случае решения задачи (4).

Т.о. для решения системы (6) следует решить нелинейную невыпуклую задачу математического программирования: $J(l_{nj}, \Delta^{(i)}, \varepsilon) \rightarrow \min_{R_{i,2}^c} J(l_{nj}, \Delta^{(i)}, \varepsilon)$ в условиях (1), (2), (3). Для упрощения введем обозначения: $x_1 = l_{n1}, \dots, x_R = l_{nR}, x_{R+1} = \Delta_1^{(i)}, \dots, x_{R+i} = \Delta_i^{(i)}, x_{R+i+1} = \varepsilon$ тогда: $R_{1,2}^c = \{x_1, \dots, x_{c_{1,2}}\}, J(l_{nj}, \Delta^{(i)}, \varepsilon) = J(x_1, \dots, x_{c_{1,2}}) = J(X), X = (x_1, \dots, x_{c_{1,2}}).$

Процедура определения глобального минимума функции (8) должна удовлетворять следующим требованиям:

- учитывать невыпуклый и нелинейный характер $J(X)$;

- обеспечивать поиск в зоне «оврагов»;
- достаточно эффективно обеспечивать поиск в условиях повышенной размерности области определения $R_{1,2}^c$;
- выполнять свои функции в условиях ограниченных вычислительных ресурсов.

Известны современные и достаточно эффективные алгоритмы поиска [1, 6, 12] абсолютного в замкнутой области экстремума многомерных нелинейных невыпуклых функций. Наиболее популярные из которых методы случайного поиска, например, метод отжига, генетические алгоритмы, интервальный метод ветвей и границ и другие. Все они характеризуются высокой вычислительной сложностью, причем количество требуемых для поиска вычислительных операций находится в степенной зависимости от размерности $\dim R_{1,2}^c$ области определения оптимизируемой функции.

Подобных недостатков лишен разработанный В.К. Чичинадзе алгоритм Ψ -преобразования [7], суть которого в преобразовании оптимизируемой многомерной функции (8) в одномерную непрерывную, монотонно убывающую численно заданную метрику $\Psi(\zeta)$ оптимизируемой функции, нуль которой совпадает с абсолютным экстремумом $J(X)$. Вычислительная сложность алгоритма Ψ -преобразования невелика. Основные затраты времени вычислений происходят на этапе подготовки данных, поскольку на начальном этапе алгоритма Ψ -преобразования необходимо произвести вычисление $J(X)$ в S равномерно и регулярно распределенных в пространстве $R_{1,2}^c$ точках $X_k \in R_{1,2}^c, k=1, 2, \dots, S$. Количество S точек X_k напрямую влияет на точность поиска экстремума методом Ψ -преобразования.

Среди вычисленных значений $J(X_k)$ находим минимальное J_{min} и максимальное J_{max} значения, после чего интервал $[J_{min}; (J_{max} - J_{min})2^{-1}]$ делим на N равных частей.

Определяем оценочные уровни по аргументу ζ по формуле: $\zeta_\nu = (J_{max} - J_{min})2^{-1} - (\nu-1)\Delta\zeta, \Delta\zeta = \zeta_{\nu-1} - \zeta_\nu, \nu=1, 2, 3, \dots, N$. После чего вычислим значения $\Psi_\nu = \xi_\nu / S$, где $\xi_\nu = \sum_{k=1}^S g_k^\nu, g_k^\nu = \begin{cases} 1, & J(X_k) \leq \zeta_\nu \\ 0, & J(X_k) > \zeta_\nu \end{cases}$.

Введем функцию $\Psi(\zeta)$ в аналитическом виде через аппроксимацию по множеству ζ_ν значений Ψ_ν , например, полиномом второго порядка

$$\Psi(\zeta) = \alpha_0 \zeta^2 + \alpha_1 \zeta + \alpha_2 \quad (9)$$

коэффициенты $\alpha_0, \alpha_1, \alpha_2$ которого получим, например, методом наименьших квадратов.

Находим наименьший $\zeta_m = J(X_m)$ корень полинома (9) близкий значению глобального минимума J_{inf} функции (8).

На следующем шаге найдем вектор $X_m = \{x_1^m, x_2^m, \dots, x_{c_{1,2}}^m\} \in R_{1,2}^c$, члены которого найдем путем подстановки ζ_m в аппроксимирующие полиномы: $x_t^m(\zeta) = \beta_0' \zeta^2 + \beta_1' \zeta + \beta_2'$, $t = 1, 2, \dots, c_{1,2}$ введенные аналогично полиному (9).

Для снижения погрешности определения X_m и повышения вероятности определения глобального экстремума $J_{inf} = 0$ используем полученные результаты в качестве начальных условий для алгоритма локального поиска.

При подборе алгоритма локального поиска руководствуемся требованиями. Наиболее эффективными в условиях этих требований представляются алгоритмы прямого поиска [9, 10]. Из которых в наибольшей степени удовлетворяет требованиям алгоритм Дж. Недлера и Р. Мида [13]. Он представляет собой улучшенный вариант алгоритма симплекс-метода и не требователен к форме симплекса, в отличие от классического алгоритма или алгоритма Хука-Дживса [1], что позволяет снять проблему сопоставимости размерностей переменных. Этот алгоритм предлагает простую и гибкую систему изменения размеров симплекса, без пересчета всех значений целевой функции, входящих в симплекс и работает существенно быстрее классического алгоритма поиска симплекс-методом, за счет использования информации предыдущих итераций.

Параметры алгоритма: коэффициент отражения $\alpha > 0$; коэффициент сжатия $\beta > 0$; коэффициент растяжения $\gamma > 0$; погрешность поиска ε_n . Значения коэффициентов выбираются произвольно. Обычно принимают $\alpha = 1$; $\beta = 0,5$; $\gamma = 2$.

В качестве опорной точки используем X_m . Отбираем $c_{1,2} = \dim R_{1,2}^c$ точек с координатами:

$$\begin{aligned} X_1 &= \{x_1^m + \varepsilon_\varphi x_1^m, x_2^m, x_3^m, \dots, x_{c_{1,2}}^m\} \\ X_2 &= \{x_1^m, x_2^m + \varepsilon_\varphi x_2^m, x_3^m, \dots, x_{c_{1,2}}^m\} \\ &\dots\dots\dots \\ X_{c_{1,2}} &= \{x_1^m, x_2^m, x_3^m, \dots, x_{c_{1,2}}^m + \varepsilon_\varphi x_{c_{1,2}}^m\} \end{aligned} \quad (10)$$

образующих симплекс в пространстве $R_{1,2}^c$ аргументов функции (8). В точках (10) определим значения $J(X_z)$, $z = 0, c_{1,2}$, $X_0 = X_m$. Получаем массив вершин

симплекса $V[c_{1,2}+1]$, где каждый член массива представляет собой точку X_z . Затем выполним последовательность действий:

1. Сортируем массив $V[c_{1,2}+1]$ по убыванию величины $J(V[z])$.

2. Из вершин симплекса выбираем три точки $V[0], V[1], V[c_{1,2}]$. Для уменьшения величины $J_{V[0]}$ определим центр тяжести всех точек, за исключением $V[0]$: $X_h = \{x_{h1}, x_{h2}, x_{h3}, \dots, x_{hc_{1,2}}\}$, где $x_{ht} = (1/c_{1,2}) \sum_{z=1}^{c_{1,2}} x_{zt}$, $t = 1, c_{1,2}$, при этом существенно, что $J(X_h)$ – не вычисляем.

3. Отразим точку $V[0]$ относительно X_h с коэффициентом отражения α , получим точку X_H с координатами $x_{Ht} = (1+\alpha)x_{ht} - \alpha x_{V[0]t}$, $t = 1, 2, \dots, c_{1,2}$

4. Последовательно сравним значение $J(X_H)$ с $J_{V[0]}$, $J_{V[1]}$, $J_{V[c_{1,2}]}$:

4а. Если $J(X_H) < J_{V[c_{1,2}]}$, то растягиваем симплекс. Получаем новую точку X_e с координатами $x_{et} = (1+\gamma)x_{ht} - \gamma x_{Ht}$, $t = 1, 2, \dots, c_{1,2}$. Если $J(X_e) < J_{V[c_{1,2}]}$, то $V[c_{1,2}] = X_e$. Переходим на шаг 8. Если $J(X_e) > J_{V[c_{1,2}]}$, то $V[0] = X_H$. Переходим на шаг 8.

4б. Если $J_{V[c_{1,2}]} < J(X_H) < J_{V[1]}$, то $V[0] = X_H$. Переходим на шаг 8.

4с. Если $J_{V[1]} < J(X_H) < J_{V[0]}$, то $V[0] = X_H$. Переходим на шаг 5.

4д. Если $J(X_H) > J_{V[0]}$, то переходим на шаг 5.

5. Сжимаем симплекс к точке X_s с координатами $x_{st} = (1-\beta)x_{ht} + \beta x_{V[0]t}$, $t = 1, 2, \dots, c_{1,2}$

6. Если $J(X_s) < J_{V[0]}$, то $V[0] = X_s$. Переходим на шаг 8.

7. Если $J(X_s) > J_{V[0]}$, то производим сжатие симплекса к точке $V[c_{1,2}]$. Производим пересчет координат остальных точек $V[z]$, $x_t^z = x_{V[c_{1,2}]t} + (x_{V[z]t} - x_{V[c_{1,2}]t})/2$, $t = 1, c_{1,2}$, $z = 0, c_{1,2}-1$.

8. Вычисляем длину ребер симплекса. Если хотя бы одно ребро длиннее чем ε_n , выполняем алгоритм с шага 1, иначе $X_{rez} = V[c_{1,2}]$. Завершаем поисковую процедуру.

Большое значение для поиска локального экстремума алгоритмом Недлера-Мида имеет выбор начальной длины ребра симплекса. С одной стороны ребро должно быть существенно меньше расстояния между точками X , с другой, достаточно большим, для того чтобы миновать множество мелких локальных экстремумов, которые могут находиться в области спуска.

IV. ЗАКЛЮЧЕНИЕ

Протестируем предлагаемую вычислительную процедуру на известной решенной задаче процесса индукционного нагрева бесконечного цилиндрического стержня [3], в условиях $\Theta_0(l) \equiv \Theta_0 = \Theta_a = const$, $W(\xi, l) = \xi (ber'^2(\xi l) + bei'^2(\xi l)) / (ber(\xi)ber'(\xi) + bei(\xi)bei'(\xi))$, $\xi = 4, Bi = 0,7, \Theta^*(l) = \Theta^* = 0.5$

Параметры управления $\Delta^{(i)}$ для этой задачи представляют собой длительности интервалов постоянства управления $u(\varphi)$ принимающего значения $u = U_{max} = 1, U_{min} = -U_{max}$ на этих интервалах.

В результате (Рис.1) предлагаемой поисковой процедуры получены параметры оптимального по точности управления: $\Delta_1^{(1)} = 0.3475, \Delta_1^{(2)} = 0.3506, \Delta_2^{(2)} = 0.0403$

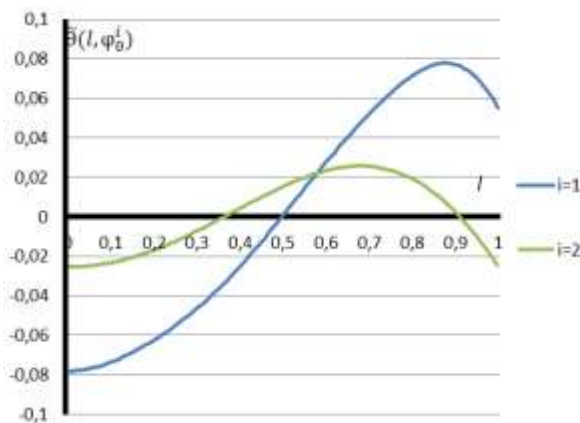


Рис. 1. Результирующее оптимальное распределение температур в тестовой задаче [7] для одно ($i=1$) и двух ($i=2$) интервального управления

Известное решение [3] этой же задачи дает: $\Delta_1^{(1)} = 0.349, \Delta_1^{(2)} = 0.35, \Delta_2^{(2)} = 0.04$

Таким образом, можно констатировать, что предложенный алгоритм обладает достаточно высокой точностью, отвечает требованиям и обеспечивает эффективный процесс поиска параметров $\Delta^{(i)}$ оптимального управления.

СПИСОК ЛИТЕРАТУРЫ

- [1] Рапопорт Э.Я. Альтернативный метод в прикладных задачах оптимизации. М: Наука, 2000. 335с.
- [2] Васильев Ф.П. Численные методы решения экстремальных задач. М: Наука, 1980. 520 с.
- [3] Рапопорт Э.Я., Плешивцева Ю.Э. Оптимальное управление температурными режимами индукционного нагрева. М: Наука, 2012. 309 с.
- [4] Бутковский А.Г. Теория оптимального управления системами с распределенными параметрами. М: Наука, 1965. 474 с.
- [5] Гилл Ф., Мюррей У., Райт М. Практическая оптимизация. / Пер. с англ. М: Мир, 1985. 509 с.
- [6] Самарский А.А. Введение в численные методы. М: Наука, 1982. 271 с.
- [7] Чичинадзе В.К. Решение невыпуклых нелинейных задач оптимизации. М: Наука, 1983. 256 с.
- [8] Livshits M.Y., Yakubovich E.A. Optimal Control of Technological Process of Carburization of Automotive Gears // Materials Science Forum. 2016. V. 870, P. 647-653.
- [9] Лившиц М.Ю. Системная оптимизация процессов тепло- и массопереноса технологической теплофизики: сб. трудов XXIX Междунар. науч. конф. / под общ. ред. А.А. Большакова. // Математические методы в технике и технологиях-ММТТ-29. 2016. Т. 11. С. 104-114.
- [10] Livshits M.Y., Sizikov A.P. Multi-Criteria Optimization of Refinery: EPJ Web of Conferences // Thermophysical Basis of Energy Technologies 2015. 2016. V. 110. Article Number 01035. DOI 10.1051/epjconf/201611001035
- [11] Егоров Ю.В. Необходимые условия оптимальности управления в банаховом пространстве // Математический сборник (новая серия). 1964. Т. 64 (106), № 1. С. 79-101.
- [12] Захарова Е.М., Минашина И.К., Обзор методов многомерной оптимизации. // Информационные процессы. 2014. Т. 14, №3 2014. С. 256-274
- [13] Nelder J.A., Mead R. A simplex method for function minimization. // Computer Journal. 1965. V. 7, P. 308-313.